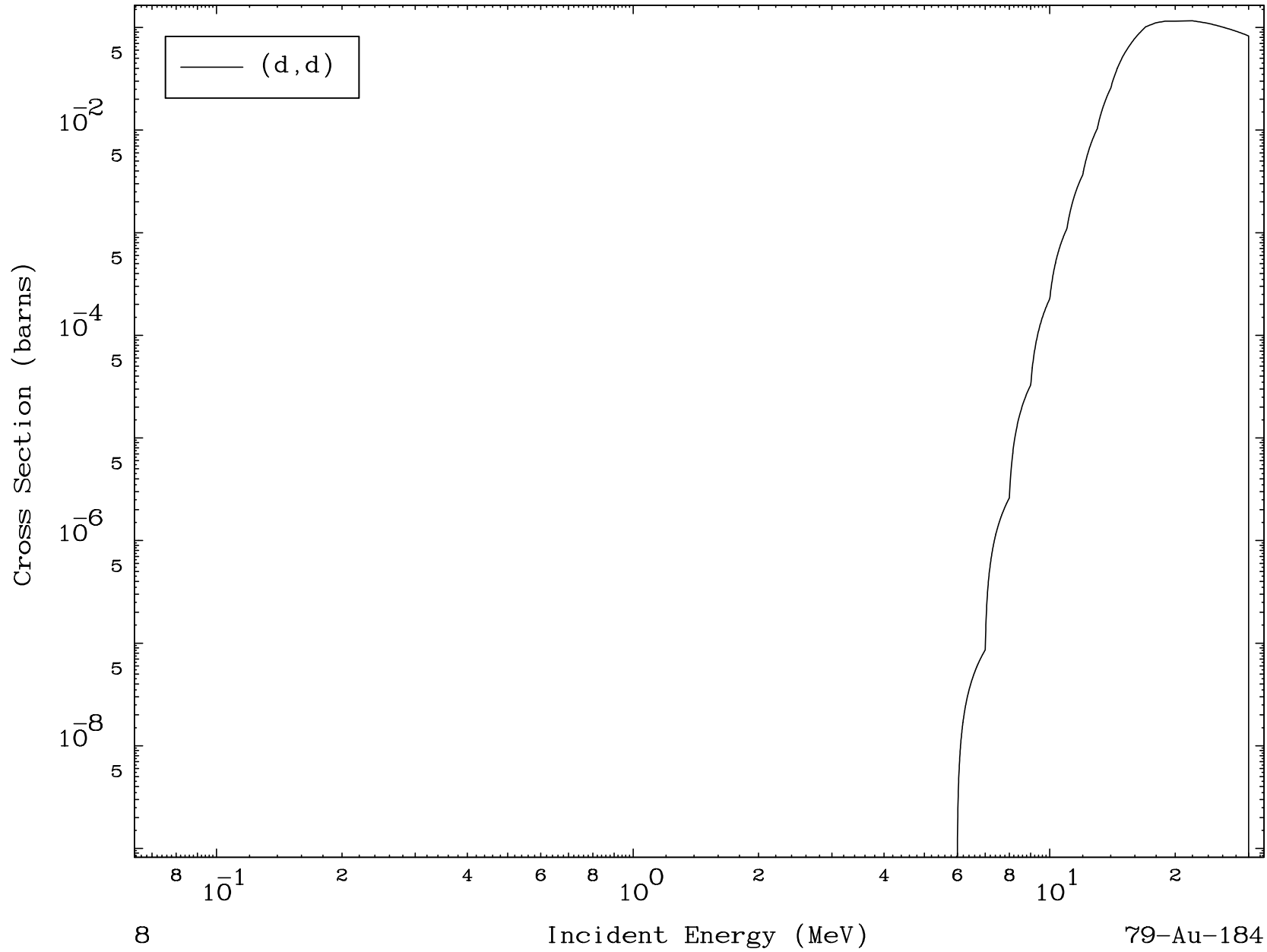
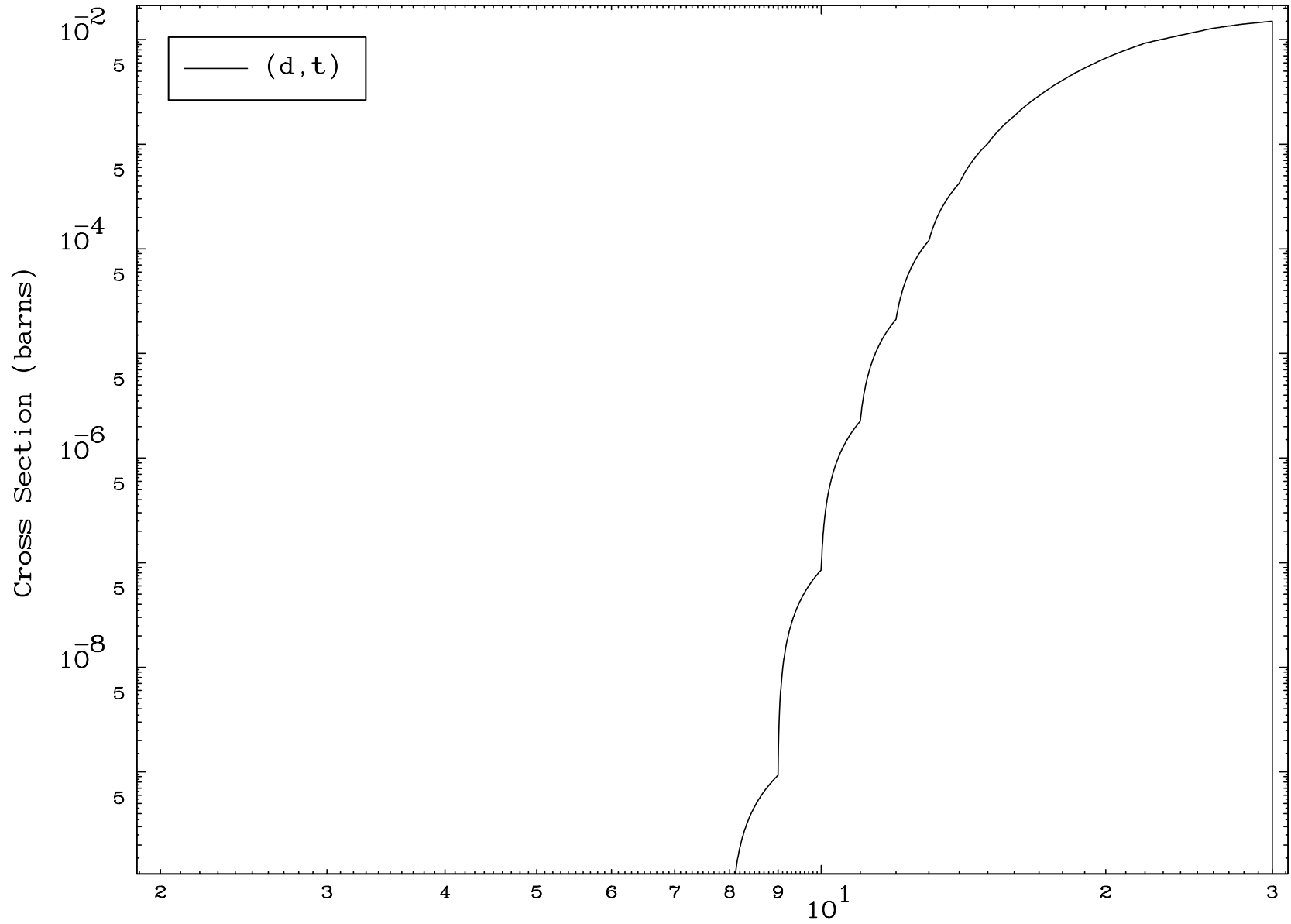


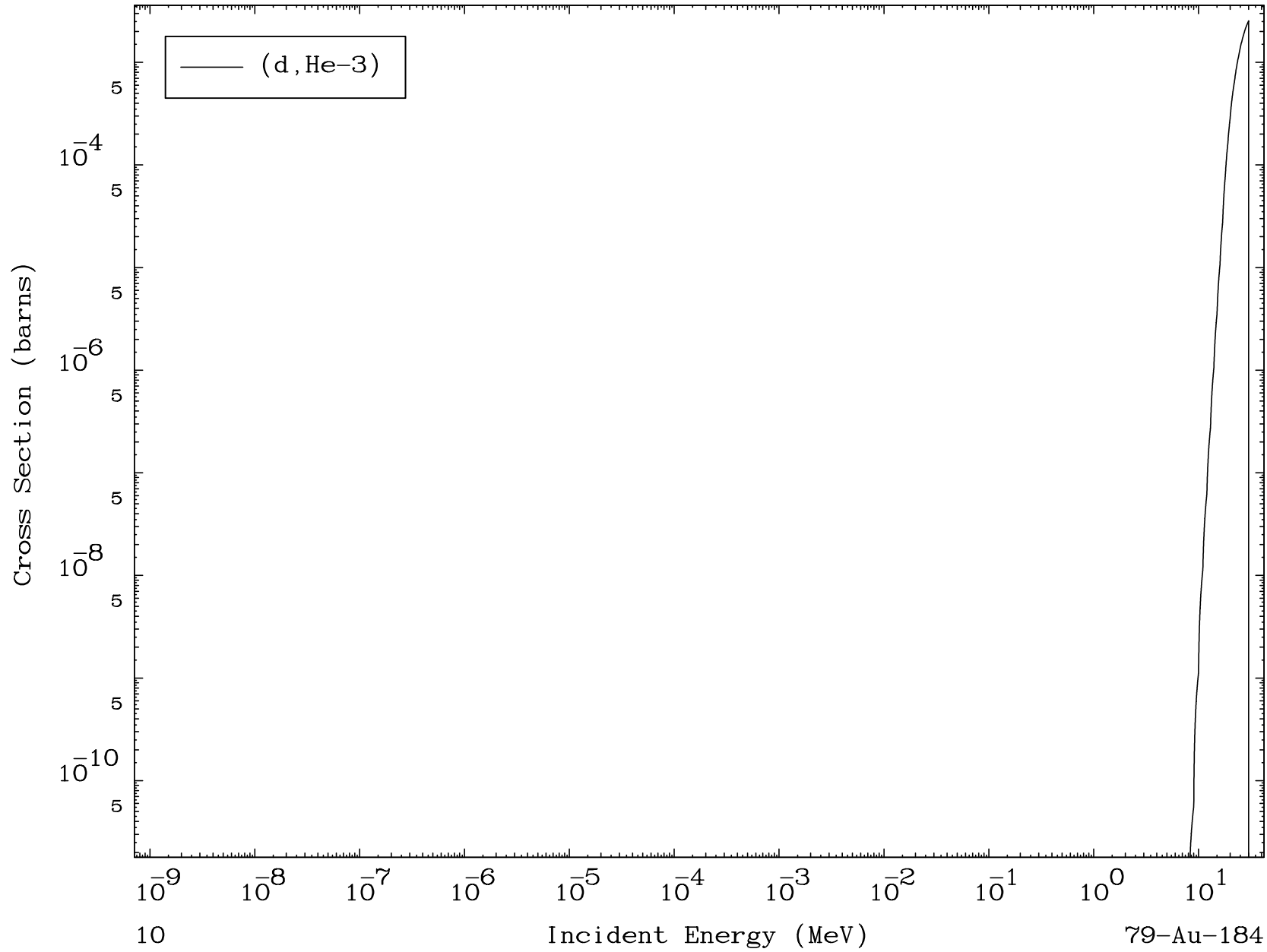
MAT 7886

(d,d) Levels
0 Kelvin Cross Sections

79-Au-184



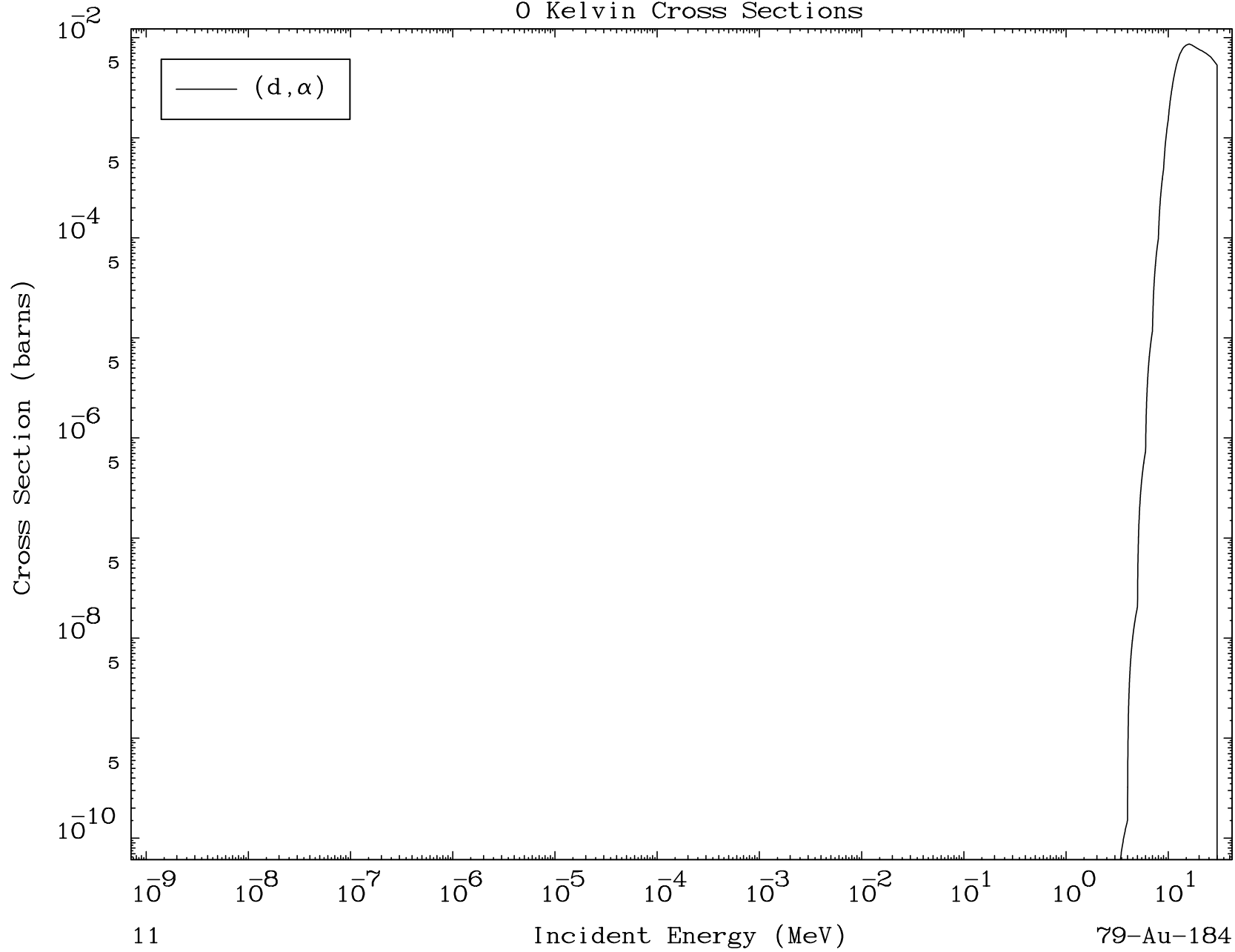




MAT 7886

(d,α) Levels
0 Kelvin Cross Sections

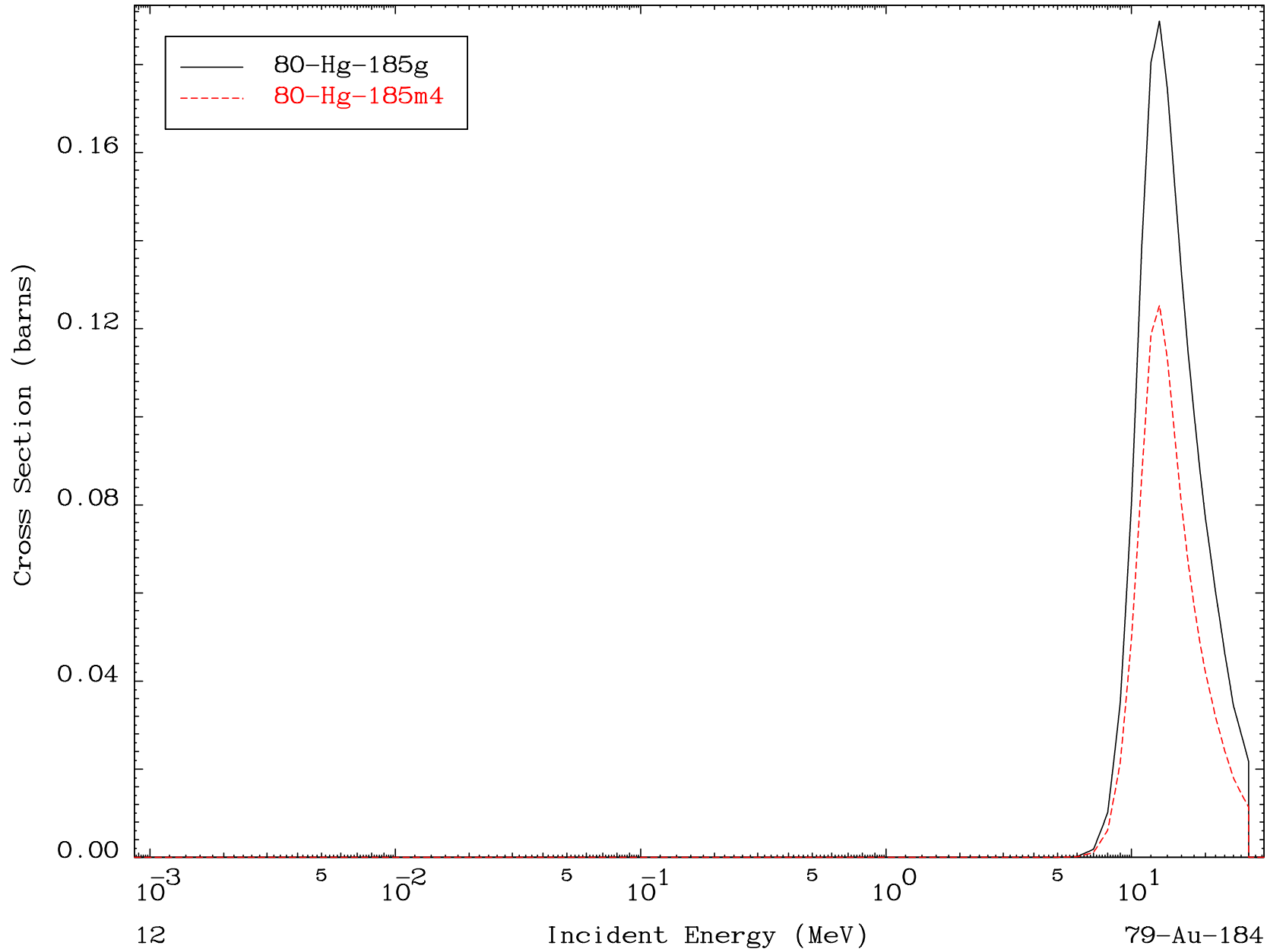
79-Au-184



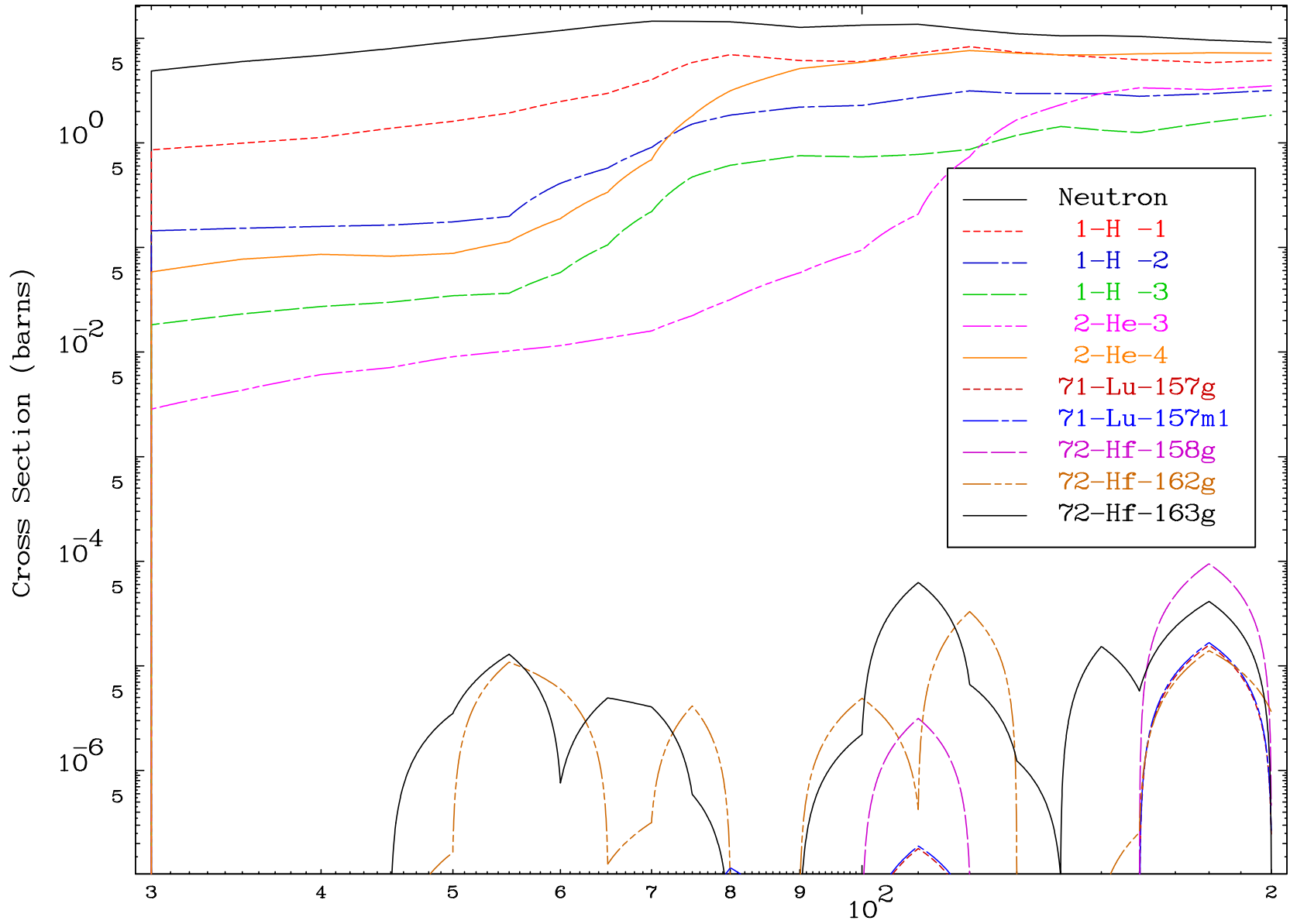
11

Incident Energy (MeV)

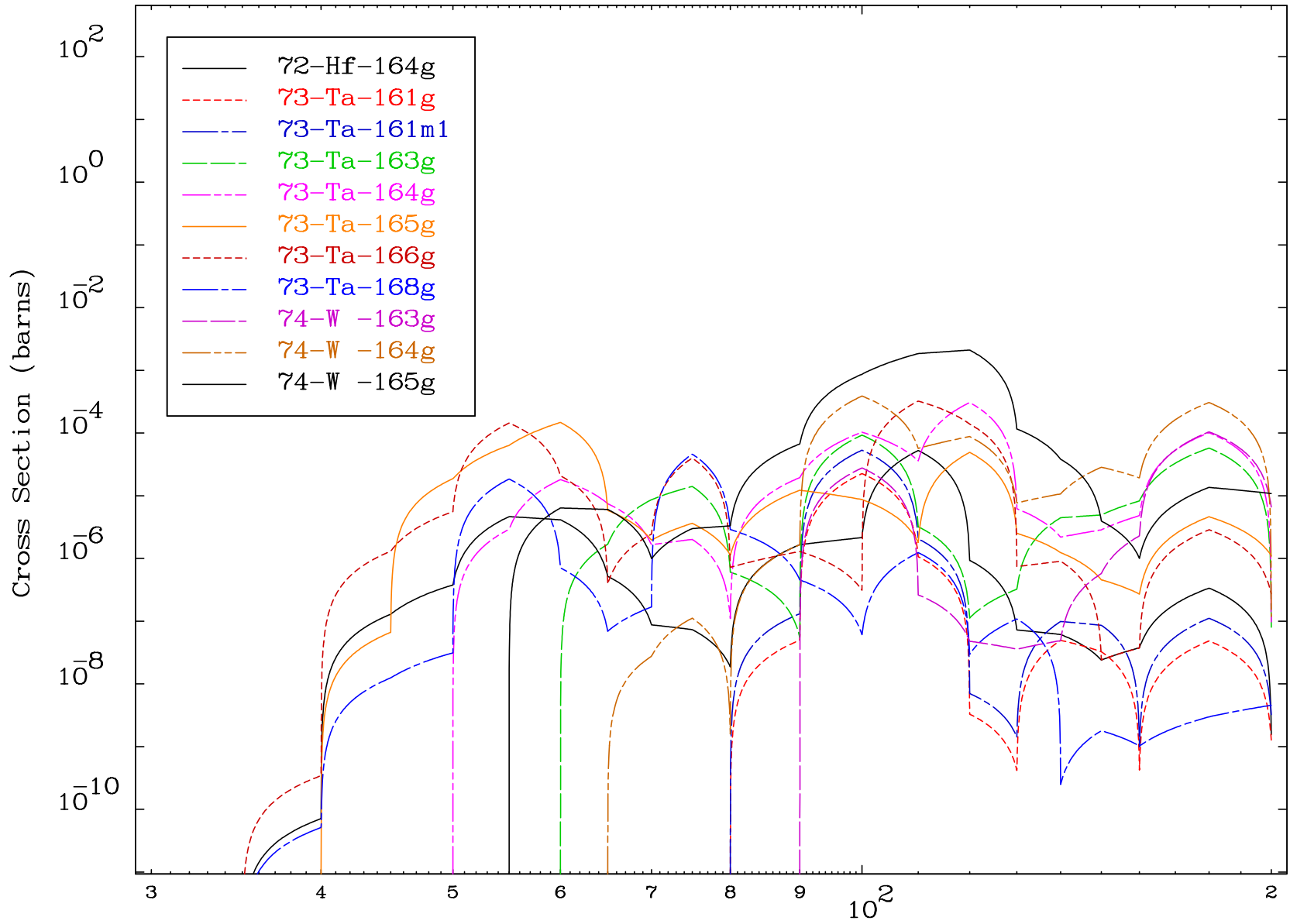
79-Au-184



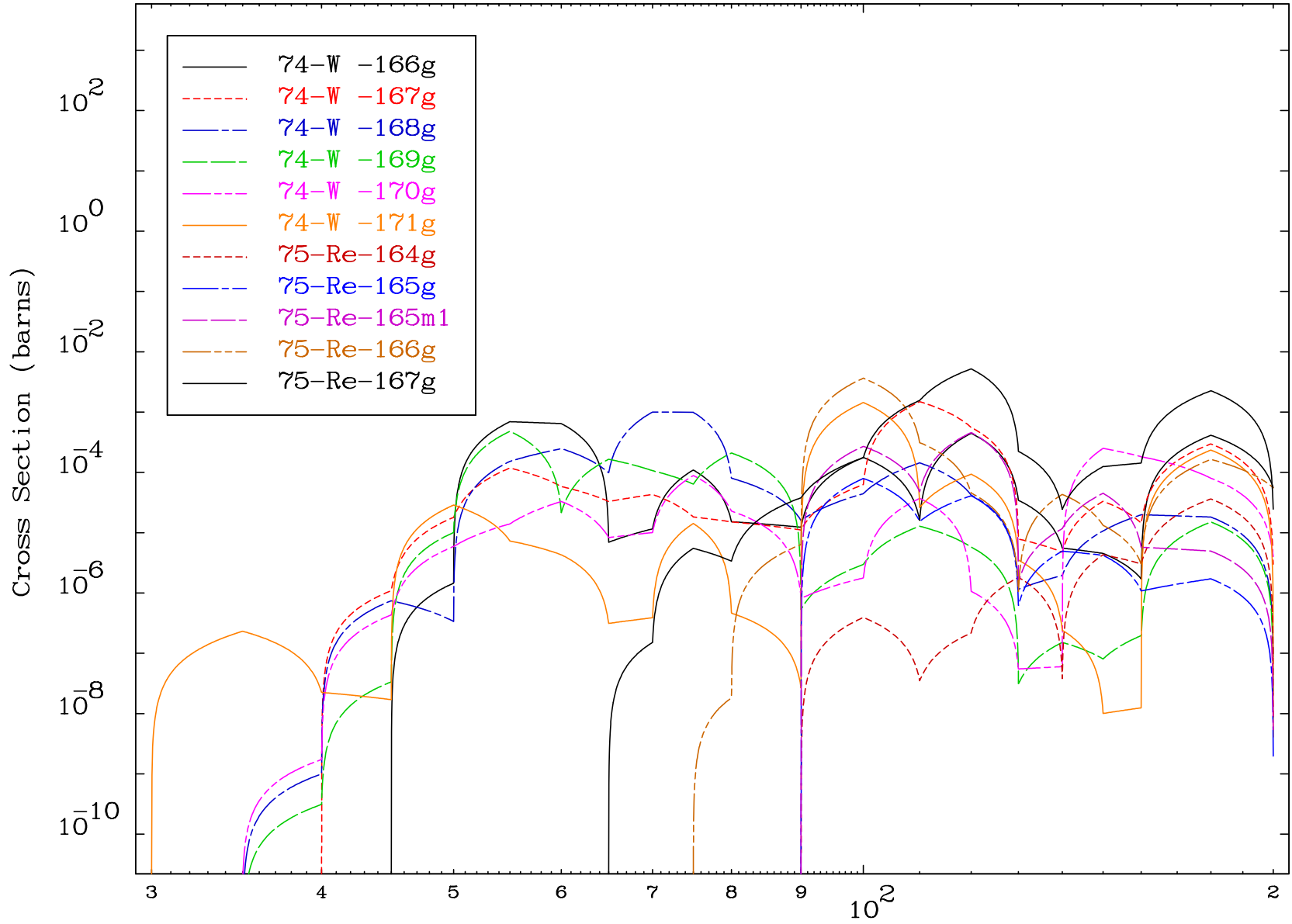
Radionuclide Production Cross Section



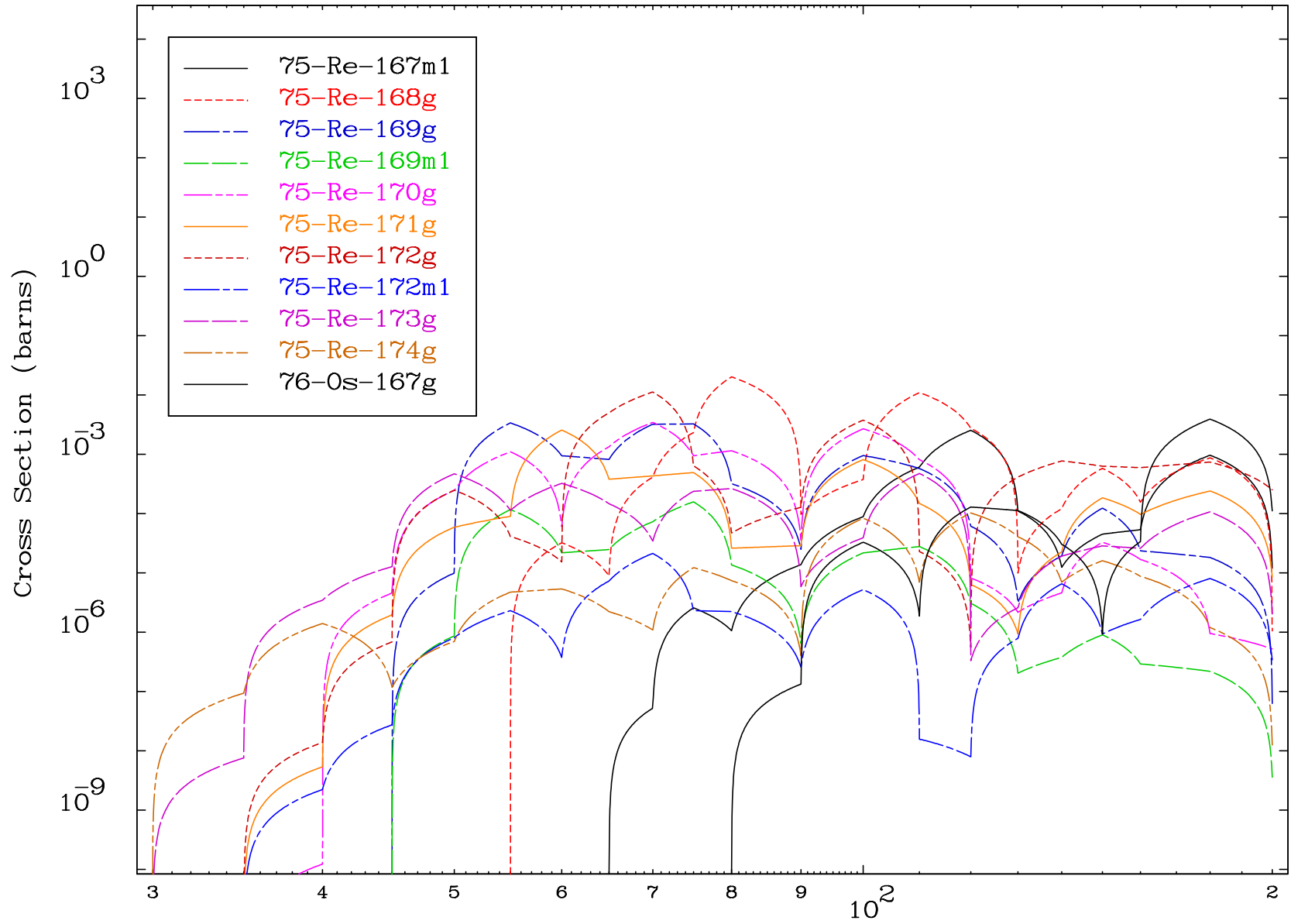
Radionuclide Production Cross Section

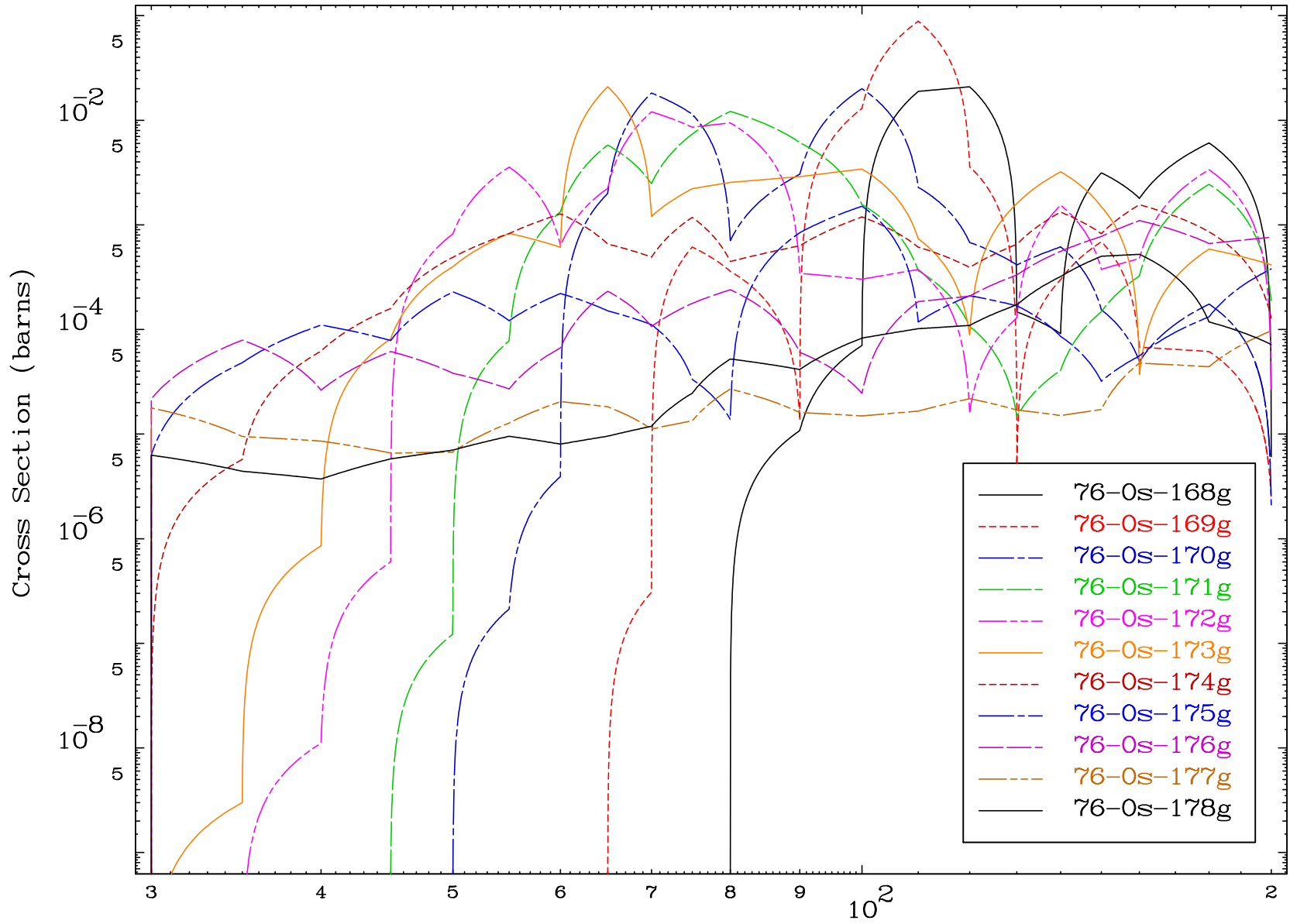


Radionuclide Production Cross Section

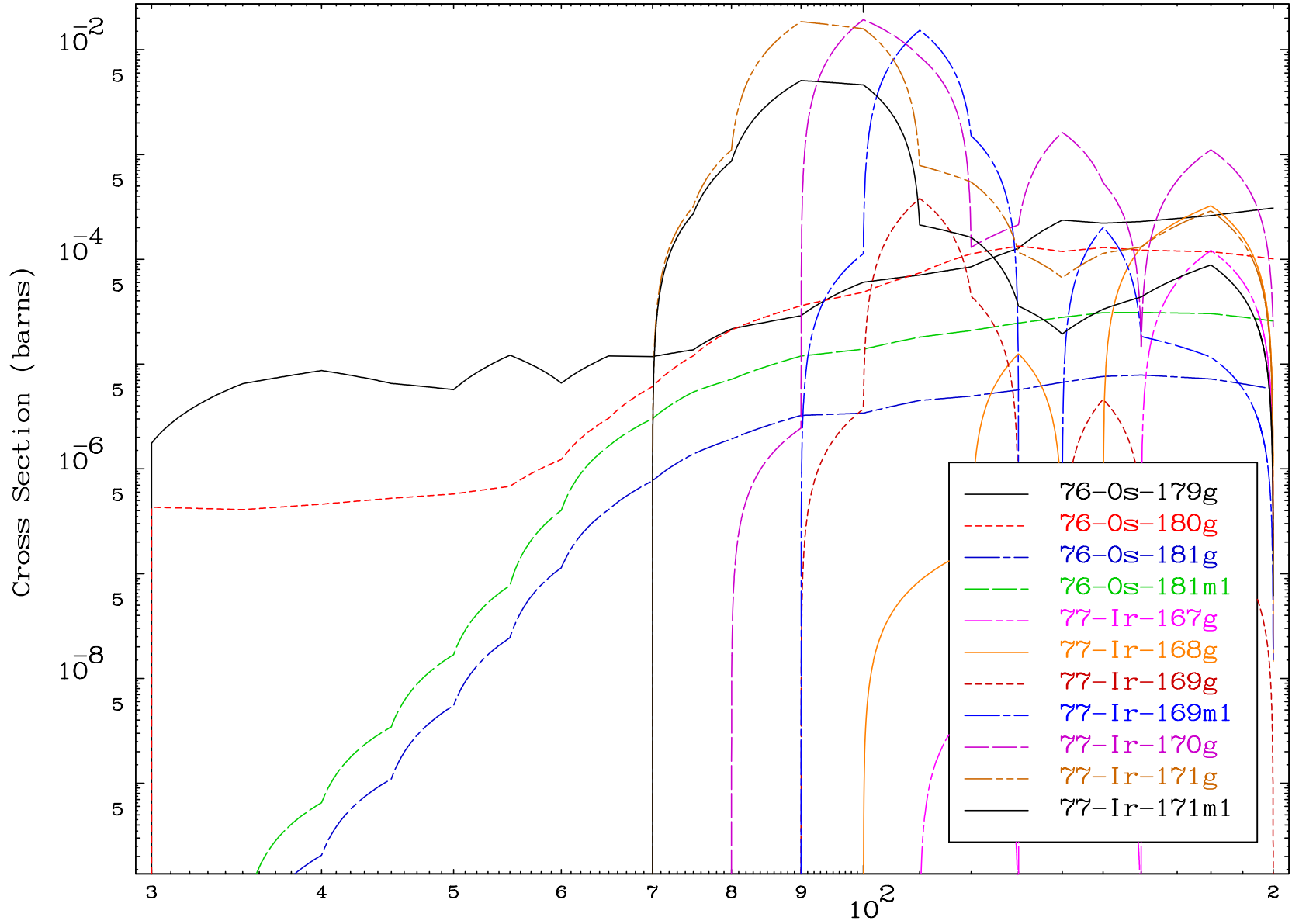


Radionuclide Production Cross Section

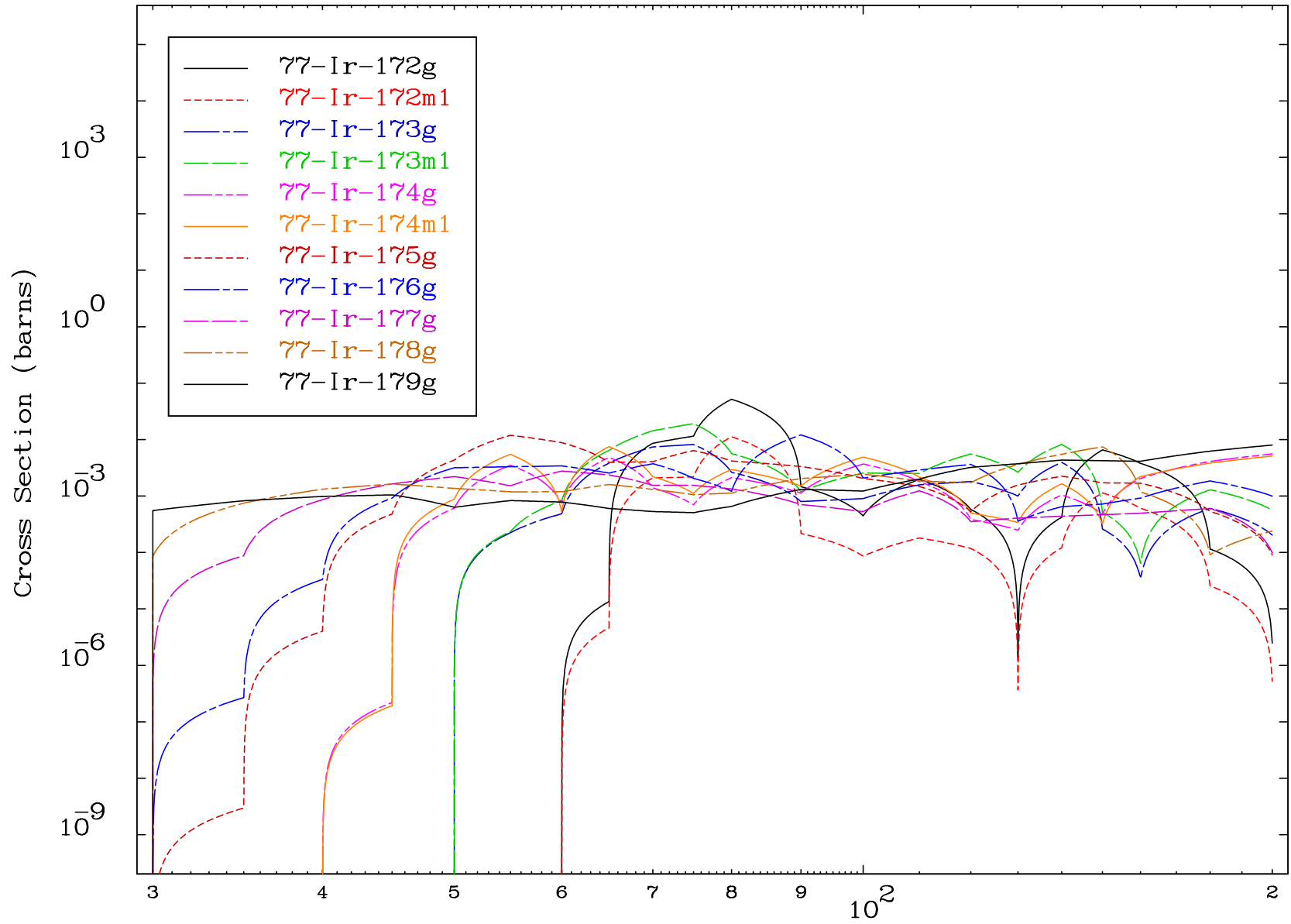




Radionuclide Production Cross Section



Radionuclide Production Cross Section

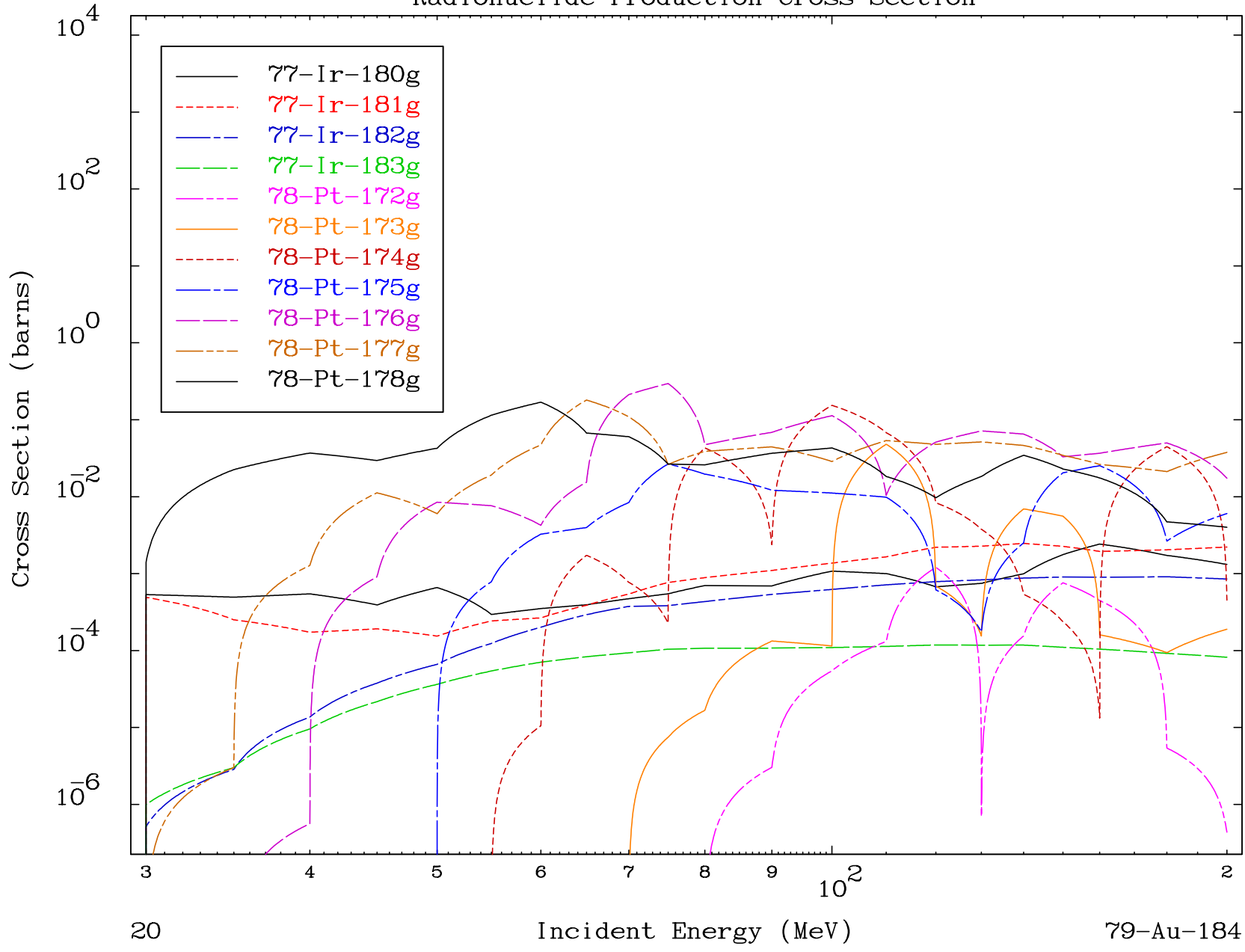


MAT 7886

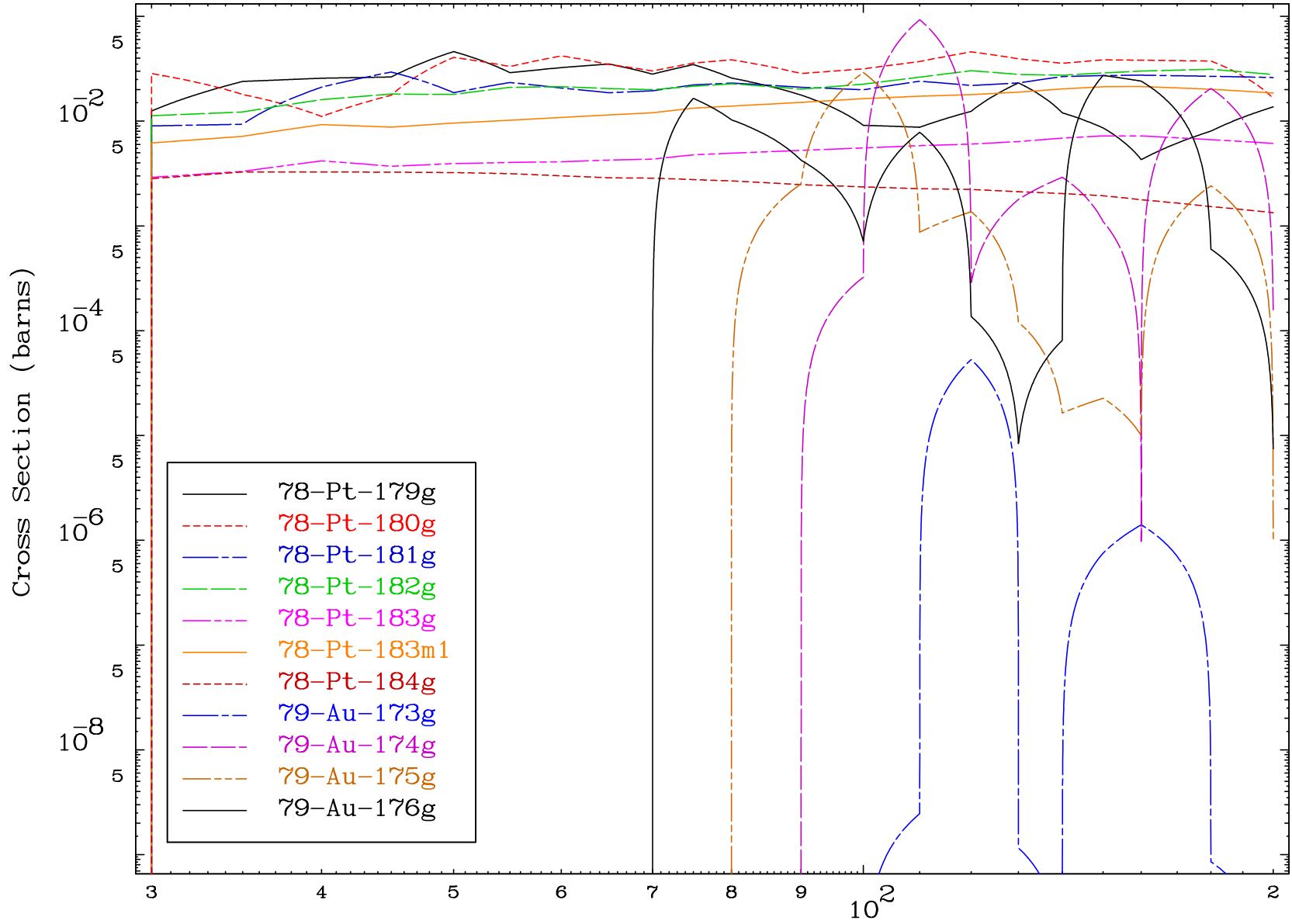
(d,remainder)

79-Au-184

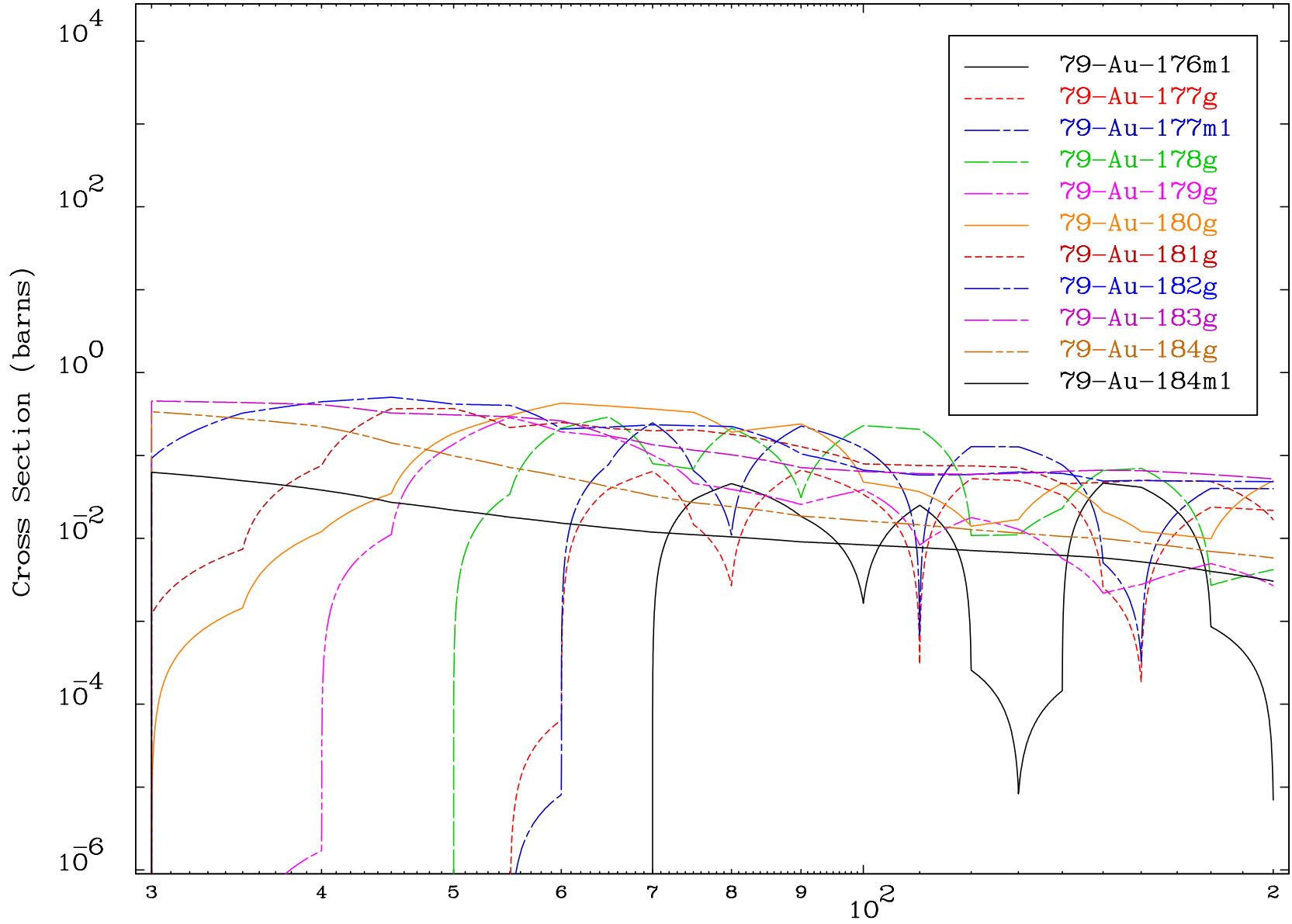
Radionuclide Production Cross Section



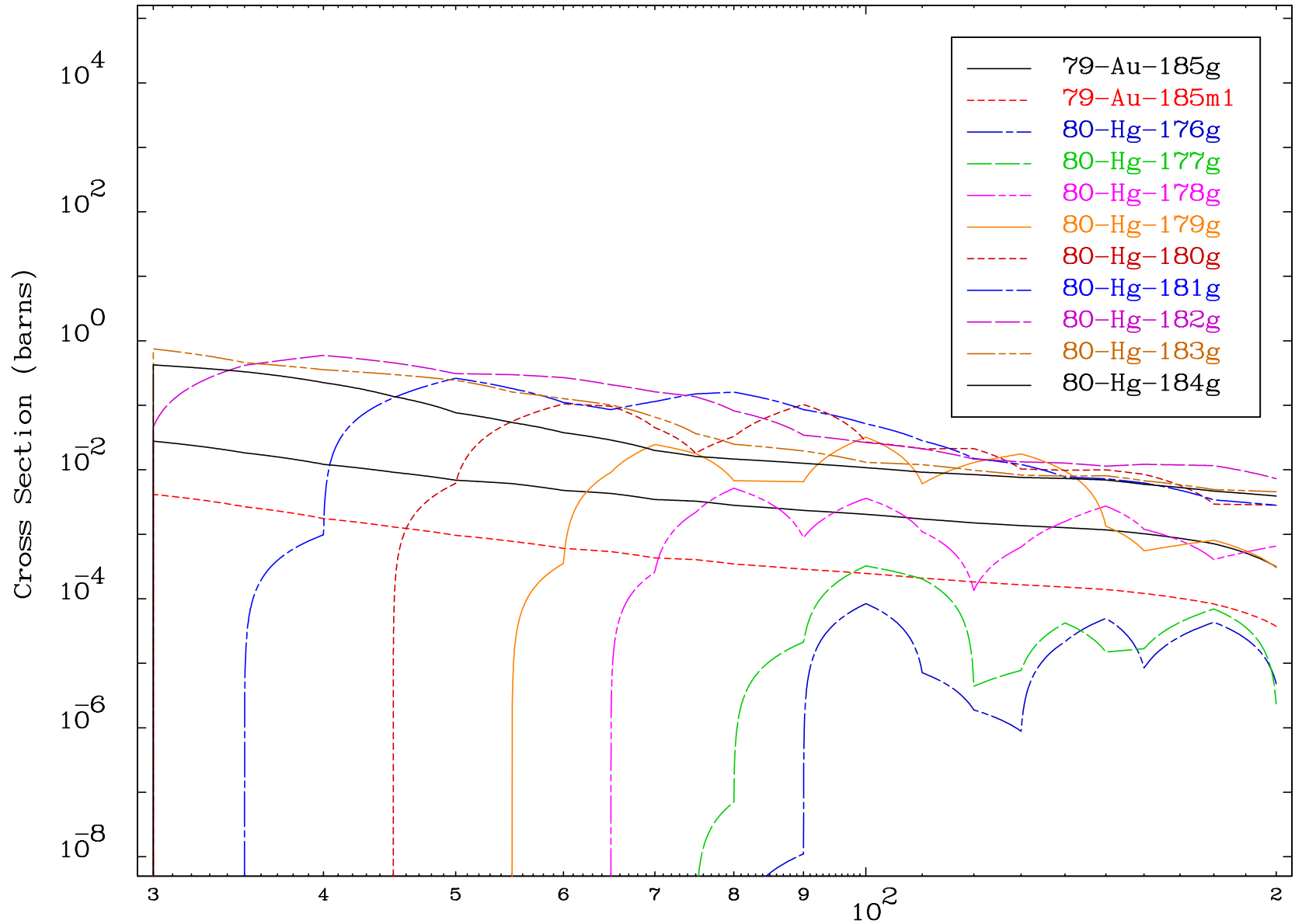
Radionuclide Production Cross Section



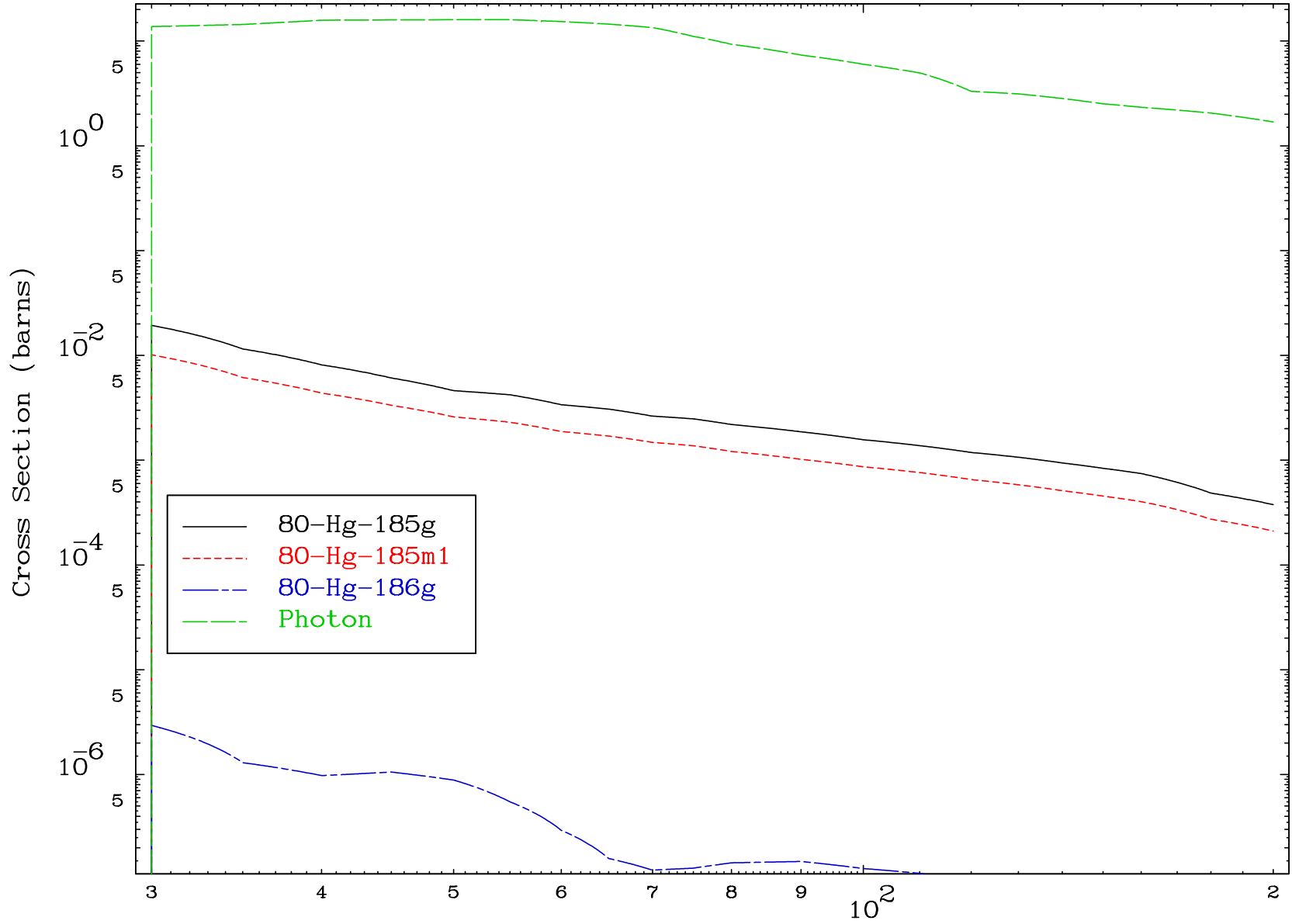
Radionuclide Production Cross Section



Radionuclide Production Cross Section



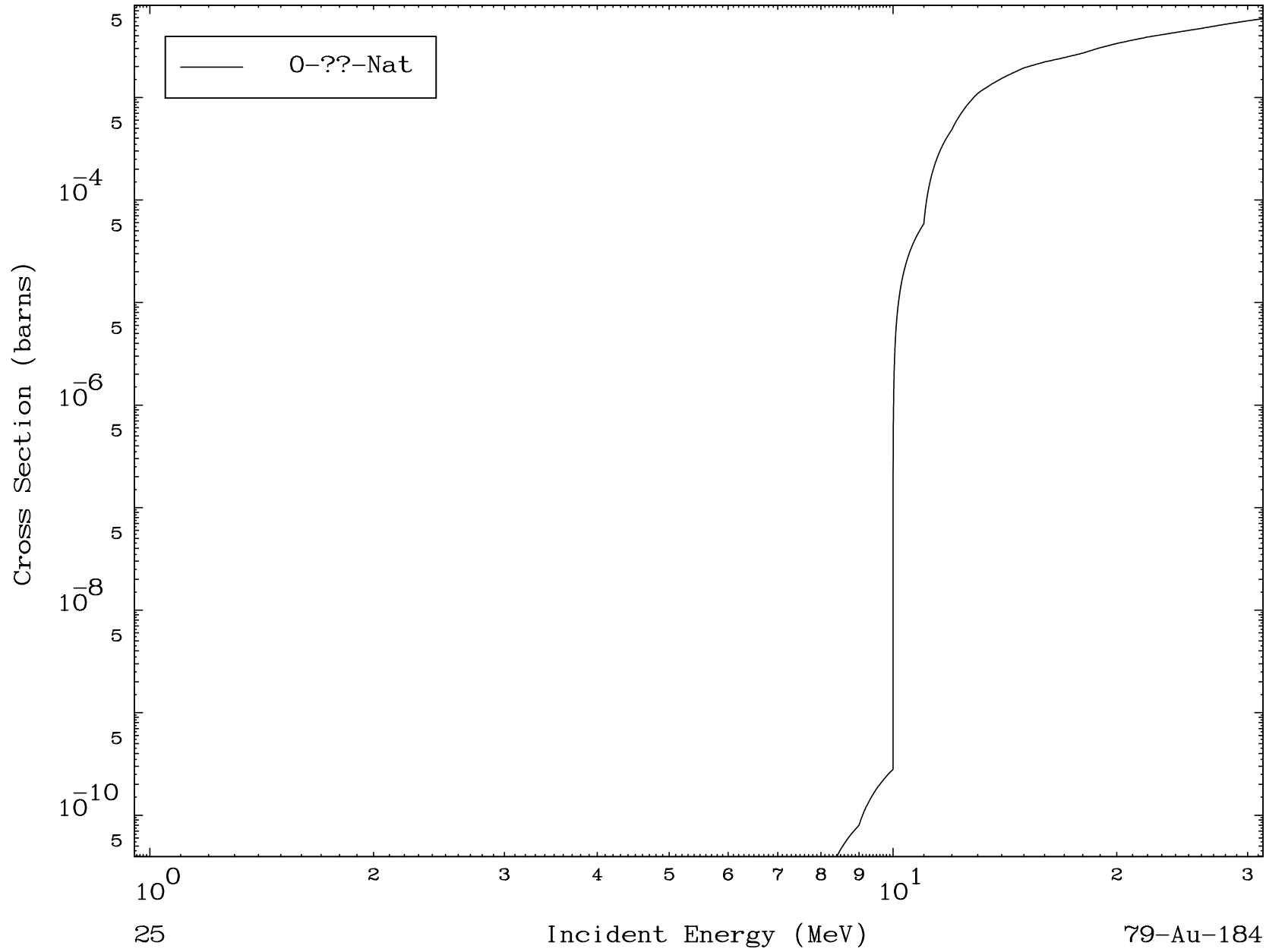
Radionuclide Production Cross Section



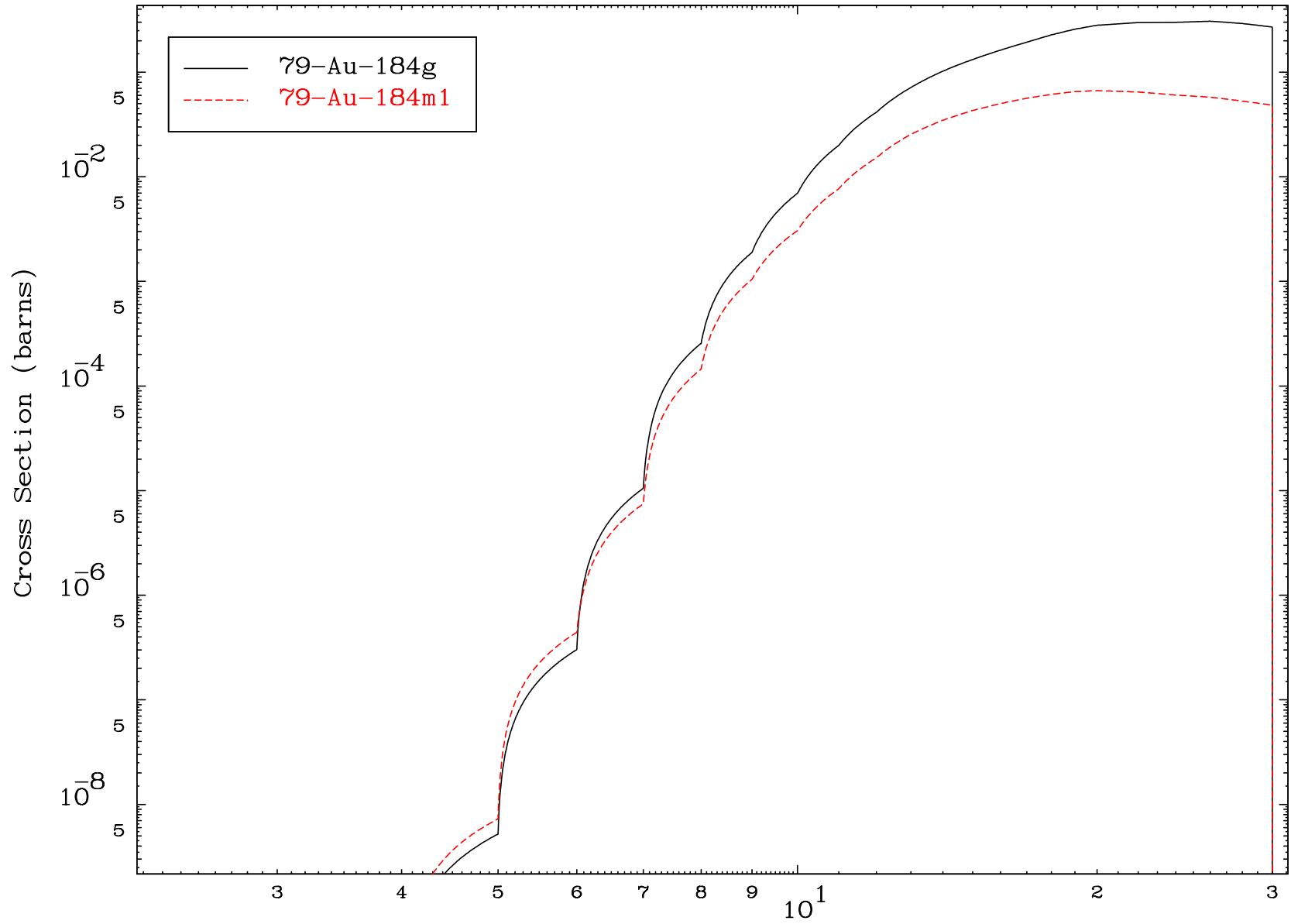
MAT 7886

Deuteron Fission
Radionuclide Production Cross Section

79-Au-184



Radionuclide Production Cross Section

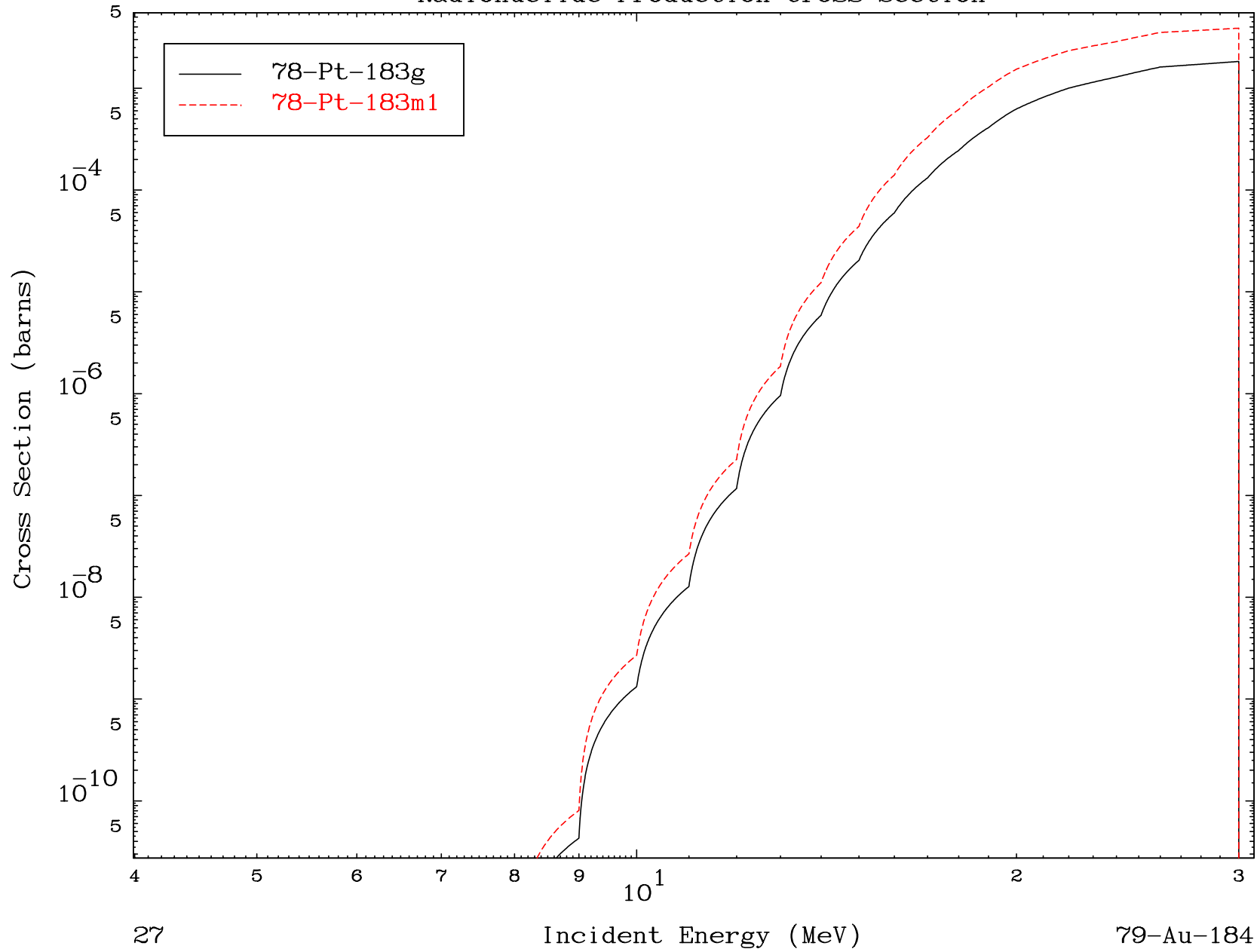


MAT 7886

(d,2n) p

79-Au-184

Radionuclide Production Cross Section



27

Incident Energy (MeV)

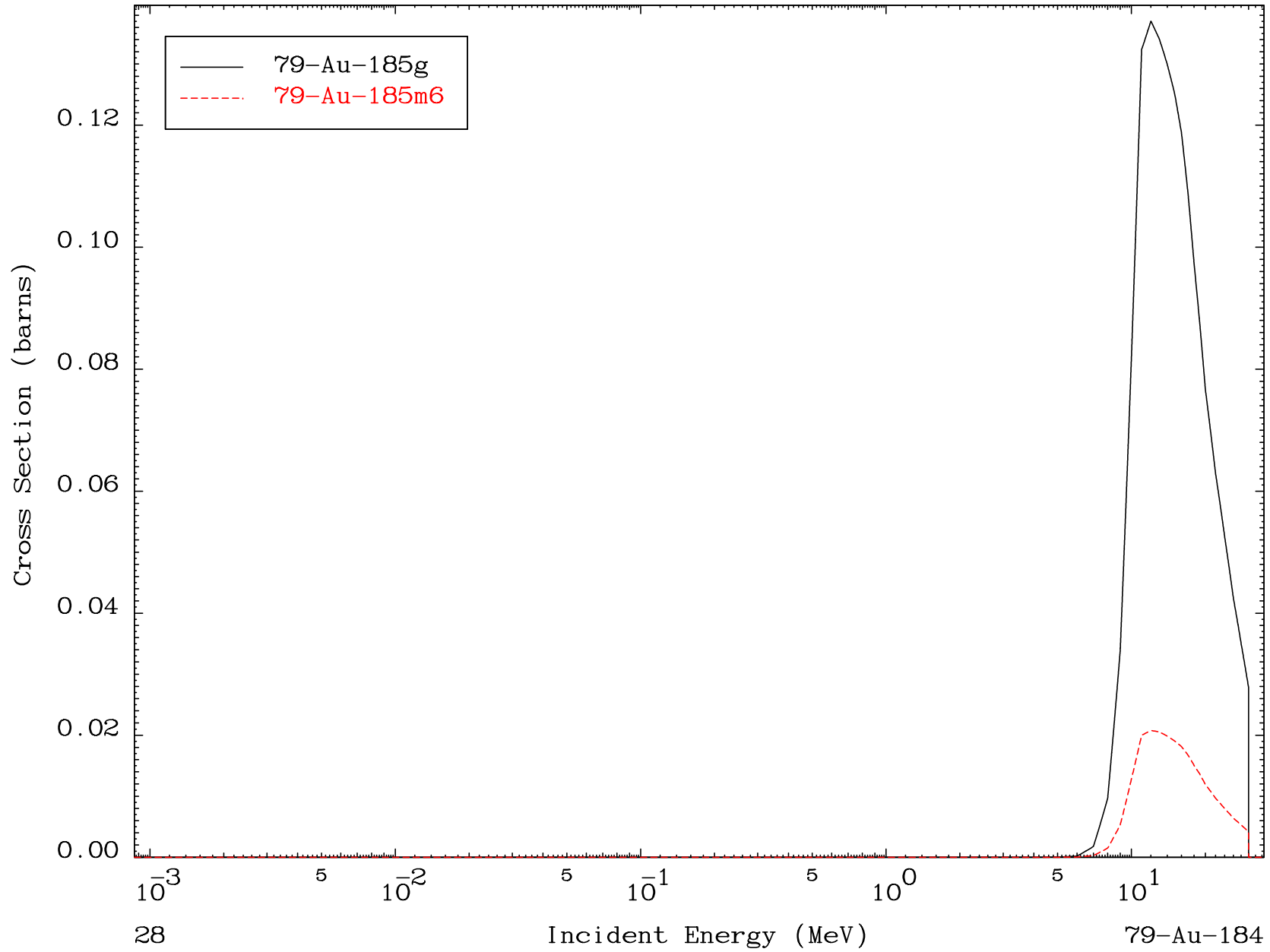
79-Au-184

MAT 7886

(d,p)

79-Au-184

Radionuclide Production Cross Section

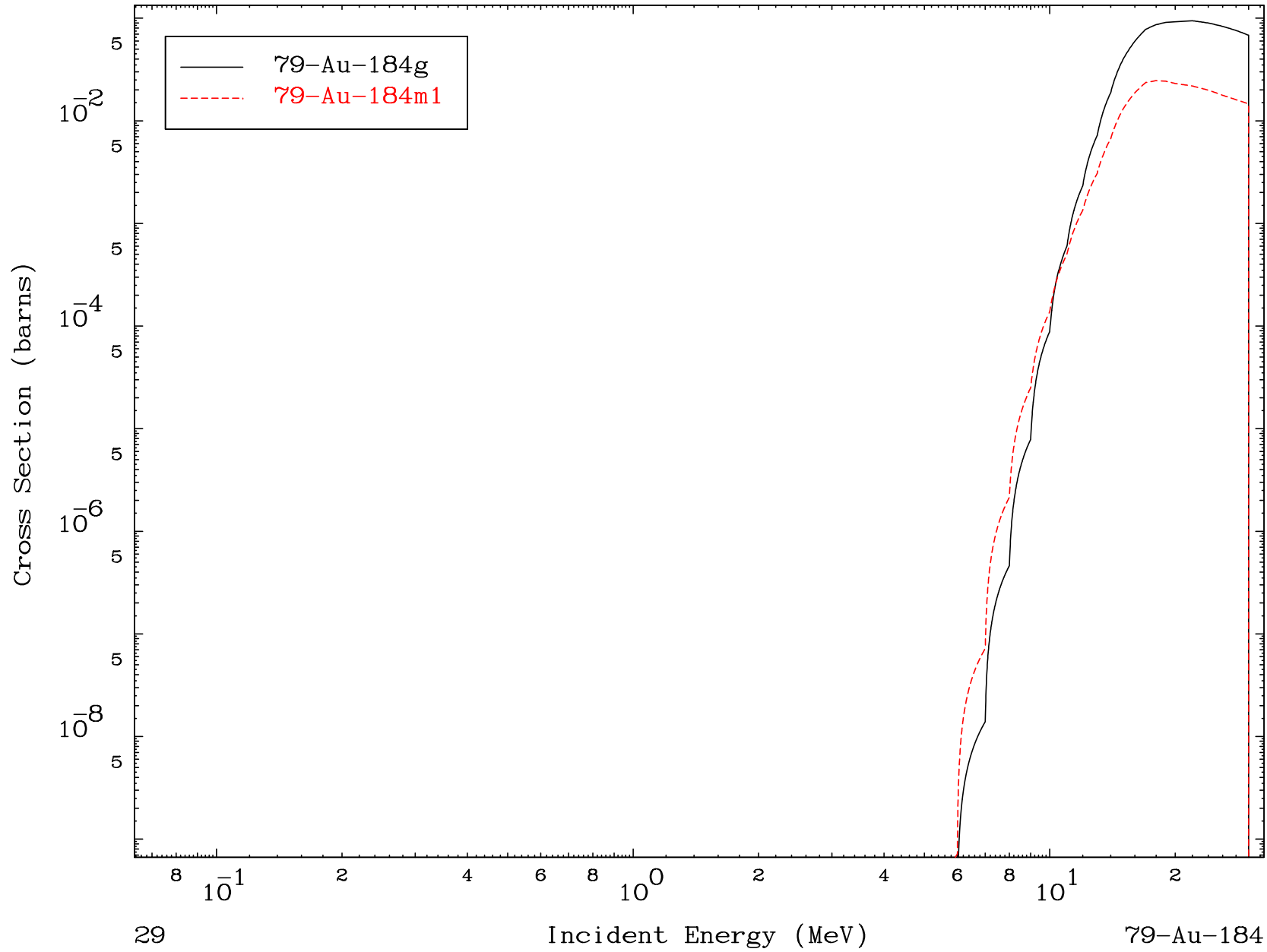


MAT 7886

(d,d)

79-Au-184

Radionuclide Production Cross Section

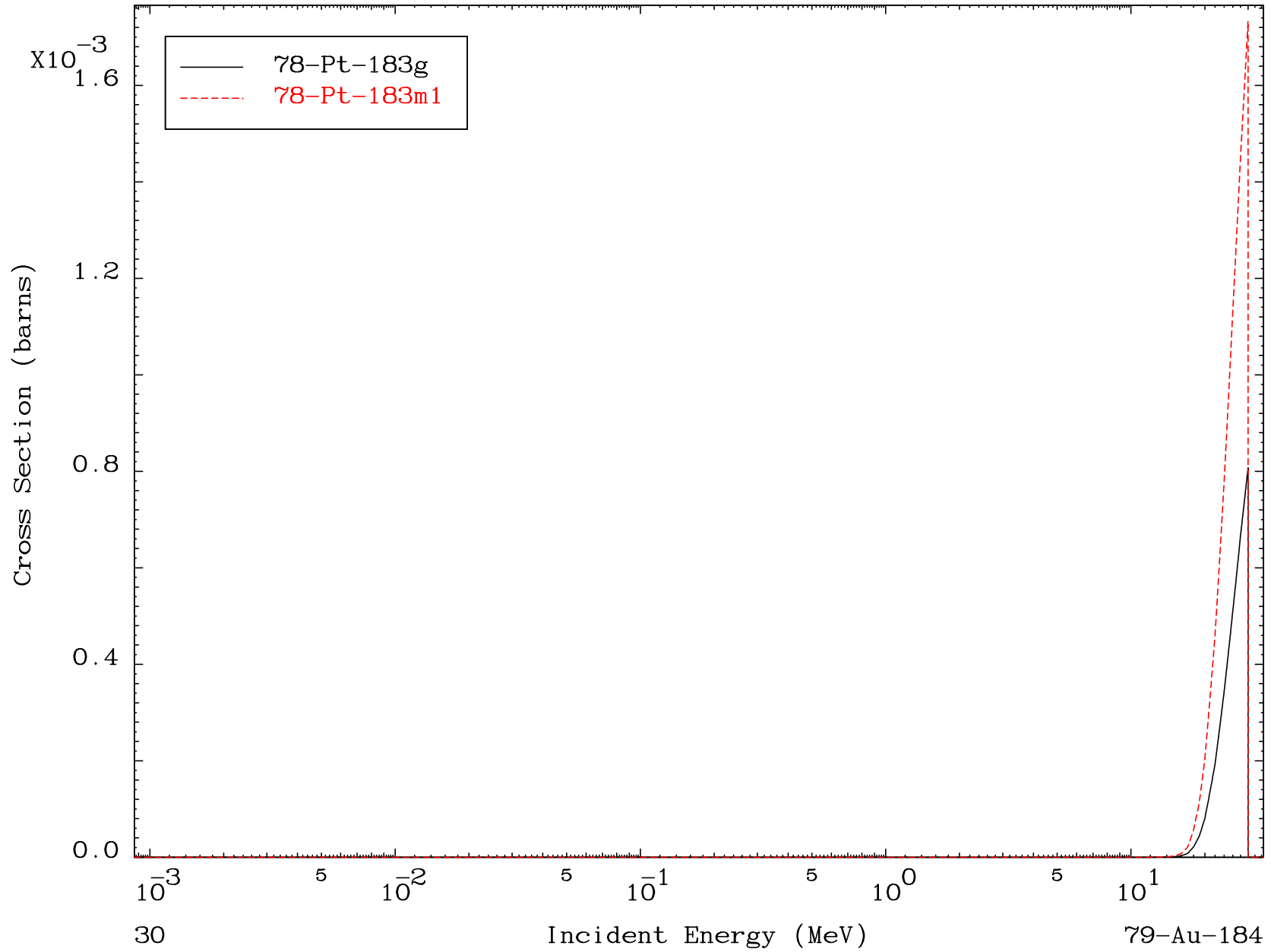


MAT 7886

(d,He-3)

79-Au-184

Radionuclide Production Cross Section

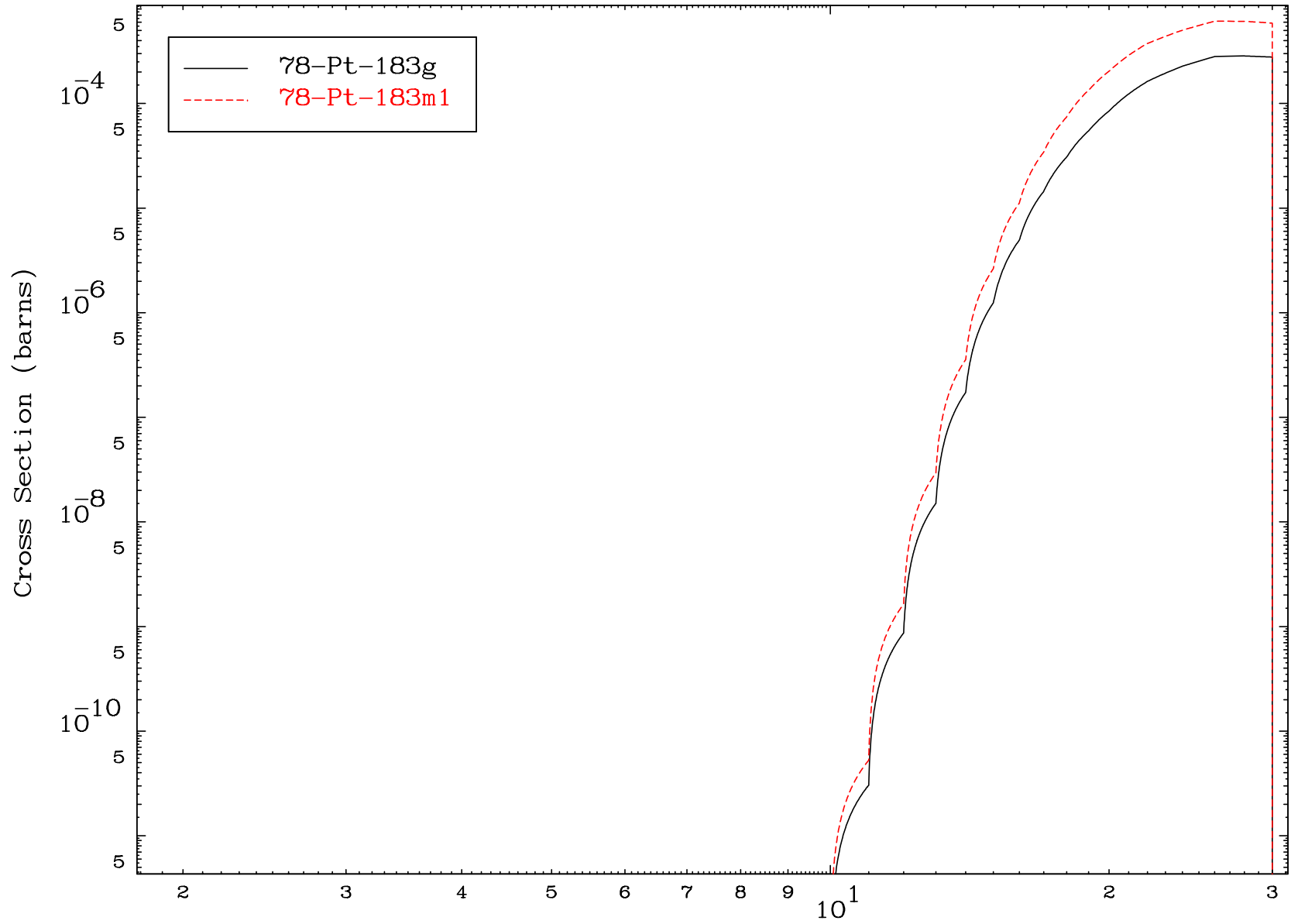


MAT 7886

(d,p) d

79-Au-184

Radionuclide Production Cross Section



31

Incident Energy (MeV)

79-Au-184